

تحقیقات غلات

دوره ششم / شماره اول / بهار ۱۳۹۵ (۱۵-۳۰)

ویژگی‌های بیوشیمیایی و بیان برخی از ژن‌های مسیر اکسیداتیو تحت شرایط تنش (*Oryza sativa L.*) در برنج

مجتبی کردرستمی^۱، بابک ربیعی^{۲*} و سید حسن حسنی کومله^۳

تاریخ پذیرش: ۹۴/۱۰/۱۹

تاریخ دریافت: ۹۴/۶/۲۱

چکیده

در این مطالعه، بیان ژن‌های گلوتاتیون پراکسیداز (*OsGpx*) و پراکسی ردوکسین (*OsPrx*)، میزان H_2O_2 و میزان آنزیم گایاکول پراکسیداز (POD) در ارقام بومی (حسنی و عنبربو) و اصلاح شده (خرز و نعمت) برنج ایرانی در واکنش به شوری ۱۰۰ میلی‌مولار ارزیابی و با دو رقم شناخته شده و بین‌المللی متحمل (FL478) و حساس (IR29) به شوری به عنوان شاهدهای آزمایش مقایسه شدند. نتایج نشان داد که میزان فعالیت آنزیم پراکسیداز (POD) در زمان‌های مختلف در ارقام مورد مطالعه متفاوت و تحت شرایط تنش شوری، فعالیت آن در ارقام حساس نسبت به ارقام متحمل بیشتر بود. علاوه بر آن، فعالیت این آنزیم در ارقام متحمل در ساعت‌های ابتدایی تنش و در ارقام حساس در ساعت‌های انتهایی تنش به حداقل میزان خود رسید. مطالعه بیان ژن گلوتاتیون پراکسیداز نیز نشان داد که بیشترین میزان بیان این ژن در ریشه ارقام متحمل در ۶ ساعت پس از اعمال تنش مشاهده شد و سپس در زمان‌های ۱۲، ۲۴، ۴۸ و ۷۲ ساعت پس از تنش، میزان بیان این ژن به طور قابل ملاحظه‌ای کاهش یافت. در مقابل، بیان این ژن در ارقام حساس در تمامی زمان‌های مورد مطالعه افزایش نشان داد، اگرچه بیشترین میزان بیان آن در ۶ و ۱۲ ساعت پس از اعمال تنش شوری مشاهده شد. مطالعه ژن پراکسی ردوکسین نشان داد که میزان بیان این ژن در ارقام متحمل در ساعت‌های اولیه پس از اعمال تنش هیچ تغییری نکرد، اما در ساعت پایانی اعمال تنش (۷۲ ساعت) بیان این ژن به نحو چشم‌گیری افزایش یافت. در مقابل، الگوی ثابتی برای بیان این ژن در ارقام حساس مشاهده نشد. نتایج نشان داد که در ارقام متحمل، رابطه مستقیمی بین کاهش میزان H_2O_2 با افزایش بیان ژن‌ها و فعالیت آنزیم‌های آنتی‌اکسیدانت وجود داشت. در مجموع نتایج این تحقیق نشان داد که کارکرد مجموعه‌ای از آنزیم‌های آنتی‌اکسیدانت می‌تواند منجر به سمزدایی گونه‌های فعال اکسیژن شود و از این‌رو جهت درک هر چه بهتر عوامل سمزدای ROS باستی مطالعه جامعی روی کل سیستم آنتی‌اکسیدانی گیاه انجام شود.

واژه‌های کلیدی: پراکسی ردوکسین، گایاکول پراکسیداز، گلوتاتیون پراکسیداز، H_2O_2

- دانشجوی دکتری، گروه بیوتکنولوژی کشاورزی، دانشکده علوم کشاورزی دانشگاه گیلان، رشت، ایران
- استاد، گروه زراعت و اصلاح نباتات و بیوتکنولوژی کشاورزی، دانشکده علوم کشاورزی دانشگاه گیلان، رشت، ایران
- استادیار، گروه بیوتکنولوژی کشاورزی، دانشکده علوم کشاورزی دانشگاه گیلان، رشت، ایران

* نویسنده مسئول: rabiei@gilan.ac.ir

مقدمه

از آب‌های با کیفیت پایین همانند آب‌های شور جهت تولید محصولات زراعی در اکثر نقاط کشور دور از انتظار نیست (Kamali *et al.*, 2011). در ایران به علت وجود مقادیر زیاد رسوبات نمکی در عمق کم خاک‌ها، شوری در خاک‌ها و آب‌های زیر زمینی به وفور وجود دارد و هم چنین شوری ثانویه نیز در ایران اتفاق افتاده و به کرات گزارش شده است (Van Weert *et al.*, 2009).

برخلاف بزرگی و گستردگی مسئله شوری، تاکنون برنامه جامعی برای مهار آن در نظر گرفته نشده است (Momeni, 2010).

استان گیلان به عنوان یکی از قطب‌های مهم تولید برنج در ایران از مشکل آب‌های شور رنج می‌برد. رودخانه سفیدرود به عنوان مهم‌ترین منبع آبیاری مزارع استان گیلان، در اثر کاهش حجم مخزن سد سفیدرود، افزایش برداشت از سرشاخه‌ها، خشکسالی‌های پیاپی و ورود پسماندهای مختلف به رودخانه، دچار روند افزایش شوری و کاهش دبی شده است. این مشکل می‌تواند گیاهان زراعی (از جمله برنج) را در مراحل مختلف رشد با مشکل Navvabian, 2012 (and Aghajani, 2012) جدید خشک شدن و نابودی مواجه سازد (and

که با تحمل به تنش همبستگی دارند) انجام شود.

پاسخ‌های پیچیده گیاهان به تنش‌های غیرزیستی با بیان ژن‌های متعدد و مسیرهای مولکولی و بیوشیمیابی گوناگونی همراه است. بسیاری از این ژن‌ها به صورت مشترک در تنش‌های مختلف بیان می‌شوند. به عنوان مثال، بسیاری از ژن‌های دخیل در تنش شوری در تنش خشکی و سرما هم بیان می‌شوند که بیانگر وجود مکانیزم‌های مشابه در پاسخ به این تنش‌ها است. از لحاظ تئوری، تنش شوری تولید ROS در گیاهان را افزایش می‌دهد. اول اینکه: گیاهان با کاهش هدایت روزنہای برای جلوگیری از کاهش بیش از حد آب گیاه، به تنش شوری پاسخ می‌دهند. این کار به نوبه خود باعث کاهش غلظت CO_2 داخلی (Ci) و احیاء آهسته‌تر CO_2 توسط چرخه کالوین می‌شود. این پاسخ منجر به تخلیه NADP⁺ اکسیدشده (که به عنوان یک پذیرنده نهایی الکترون در PSI عمل می‌کند) و افزایش نشت الکترون به O_2 و تشکیل O_2^-

برنج متعلق به خانواده Gramineae و جنس *Oryza* و شامل بیست گونه متفاوت است که در این میان تنها دو گونه *O. sativa* و *O. glaberrima* زراعی هستند و از بین آنها گونه *O. sativa* به دلیل تولید محصول بالاتر، بیشتر کشت می‌شود. برنج پس از گندم دومین غله مهم دنیا محسوب می‌شود.

محیط‌های طبیعی در بردارنده تنش‌های زیستی و غیرزیستی برای گیاهان هستند. گیاهان دائماً در برابر تغییرات محیطی قرار دارند و چنانچه این تغییرات شدت و سرعت زیادی داشته باشند، آنها را به عنوان تنش تلقی می‌کنند (Ciarmiello *et al.*, 2011). در گزارش سال ۲۰۰۷ فائو ذکر شده است که تنها ۳/۵ درصد از مناطق دنیا تحت تأثیر فشارهای محیطی قرار ندارند (Crammer *et al.*, 2011). کرامر و همکاران (Crammer *et al.*, 2007) تنش را به عنوان عامل محیطی غیرمطلوب برای موجودات زنده و مقاومت را به عنوان توانایی ادامه حیات موجود زنده در این شرایط نامساعد تعریف نموده‌اند، هر چند که در گیاهان زراعی علاوه بر ادامه حیات، توانایی تولید بخش قابل برداشت یا محصول نهایی نیز حائز اهمیت است (Crammer *et al.*, 2011).

شوری پس از خشکی مهم‌ترین و متدائل‌ترین تنش‌های محیطی در سطح جهان و از جمله ایران است. بخش قابل توجهی از اکوسیستم‌های طبیعی و زراعی دنیا تحت تنش شوری قرار دارند. در ایران معادل ۲۵ درصد از مساحت زمین‌های کشور دارای شوری است (Choukr, 1996). امروزه به علت استفاده بی‌رویه از منابع طبیعی و به کارگیری روش‌های نامناسب در تولید محصولات کشاورزی به ویژه در رابطه با آب آبیاری، بخش قابل توجهی از زمین‌های کشاورزی در مناطق خشک با پدیده شوری مواجه هستند (Puri and Williams, 1985). در ایران، شوری یک مسئله فراگیر و محدود کننده تولید پایدار کشاورزی است، به طوری که قسمت‌های زیادی از مناطق خشک و نیمه خشک کشور، به ویژه فلات مرکزی، دشت‌های ساحلی جنوب و دشت خوزستان، مبتلا به سطوح مختلف شوری هستند (Momeni, 2010). ایران به دلیل موقعیت جغرافیایی در محدوده‌ای از کره زمین واقع شده است که بیشتر مناطق آن خشک و نیمه خشک است. در کشور مناطقی وجود دارند که میزان تبخیر در آنها بیش از ۸ برابر میزان بارندگی است. از این‌رو استفاده

(GPXs) و Prxs آنزیم‌های جایگزین برای حذف H_2O_2 هستند. شواهد اخیر نشان داده است که برخی از GPX‌ها نیز ممکن است در القای اکسیداسیون و احیاء در شرایط تنفس نقش داشته باشد (Miao *et al.*, 2006). در گیاهان Prxs به پنج زیرگروه طبقه‌بندی می‌شوند که یکی از آنها به اشتباہ به نام GPXs طبقه‌بندی شده است. Prxs به طور عمده در اندامک‌هایی نظیر کلروپلاست و میتوکندری مکان‌یابی شده‌اند، در حالی که همتایان آنها را نیز می‌توان در سیتوزول یافت. Prx‌ها پراکسیدازهای مبتنی بر تیول هستند که قادر به مهار H_2O_2 می‌باشند (Horling *et al.*, 2002). بنابراین، بازیابی Prxs پس از یک واکنش پراکسیداسیون، آنها را از رقابت با سایر پروتئین‌های هدف جهت اهدای الکترون باز می‌دارد. این ویژگی به عنوان حسگر اکسیداسیون و احیاء در نظر گرفته شده است، بنابراین مشخص شده است که Prxs همراه با GPXs به عنوان حسگرهای اکسیداسیون و احیاء درون سلولی عمل می‌کنند و عمل انتقال اطلاعات میزان ROS سلولی را به شبکه اکسیداسیون و احیاء انجام می‌دهند (Foyer and Noctor, 2005). این آنزیم‌ها کنترل و آغاز سیگنال‌دهی سلولی موثر بر فتوسنتز، بیان ژن‌های هسته‌ای وابسته به کلروپلاست و میتوکندری و فعل سازی آنزیم‌های چرخه کالوین را بر عهده دارند (Dietz, 2008). تصور می‌شود که همه این موارد با شبکه‌های تنظیم‌کننده اکسیداسیون و احیاء ارتباط و تداخل داشته باشد.

با توجه به اهمیت تنفس شوری و نقش آن در کاهش عملکرد دانه گیاهان، مهندسی مقاومت یا تحمل به شوری در گیاهان دارای مزایای بسیار مهم اقتصادی است. به این دلیل ضروری است مکانیزم‌های مولکولی موثر بر تحمل به شوری در گیاهان مورد بررسی و تحلیل قرار گیرند. استراتژی اصلی مهندسی ژنتیک برای تحمل به شوری، معروفی ژن‌هایی است که به طور مستقیم در این واقعیت دخیل هستند. از این‌رو، معروفی ژن‌های عمدۀ موثر در مقاومت به تنفس شوری در مراحل مختلف رشد گیاه برنج و نیز شناسایی ارقام مقاوم به شوری در برنج‌های بومی می‌تواند گام موثری در افزایش عملکرد این گیاه مهم و استراتژیک باشد (Mittler *et al.*, 2004). هدف از این تحقیق، بررسی بیان چند ژن مهم دخیل در تنفس شوری در ارقام برنج ایرانی و مطالعه رفتار آنها در مقایسه با ارقام شاهد متتحمل و حساس به شوری بود.

می‌شود. علاوه بر این، سمیت Na^+/Cl^- ناشی از تنفس شوری می‌تواند انتقال الکترون فتوسنتزی را مختل و نشت الکترونی به سمت O_2 را تحریک کند (Slesak *et al.*, 2002). دوم اینکه: کاهش در غلظت CO_2 داخلی، سرعت واکنش‌های چرخه کالوین را کاهش داده و تنفس نوری را به ویژه در گیاهان C_3 (القاء می‌کند. در نتیجه مقدار زیادی H_2O_2 در پراکسیزوم تولید می‌شود. سوم اینکه: آپوپلاستی طی تنفس شوری فعل می‌شوند و بنابراین در ساخت ROS کمک می‌کنند (Hernandez *et al.*, 2001; Lin *et al.*, 2001). چهارم اینکه: تنفس شوری باعث افزایش میزان تنفس و در نتیجه نشت الکترون تنفسی به سمت O_2 می‌شود (Fry *et al.*, 1986; Moser *et al.*, 1991; Jeanjean *et al.*, 1993).

آنژیم‌های عمدۀ مهار کننده ROS عبارت‌اند از: سوپر اکسید دیسموتاز (SOD) که O_2^- را به H_2O_2 تبدیل می‌کند و پس از آن اقدام هماهنگ مجموعه‌ای از چهار آنزیم کاتالاز (CAT)، آسکوربات پراکسیداز (APX)، گلوتاتیون پراکسیداز (GPX) و پروکسی ردوکسین‌ها (Prx) باعث احیا H_2O_2 می‌شود. تمام آنزیم‌های مهارکننده ROS که تا به حال شناسایی شده‌اند، توسط ژن‌های هسته‌ای به نحوی رمز می‌شوند که بتوانند به طرز کاملاً صحیحی در اجزای زیرسلولی مختلف انجام وظیفه کنند (Mittler *et al.*, 2004). در کنار آنتی‌اکسیدان‌های غیر آنزیمی از جمله اسید اسکوربیک (ویتامین C)، توکوفرول (ویتامین E) و گلوتاتیون (GSH)، آنزیم‌های آنتی‌اکسیدانی نیز با فعالیت خود به حفظ سطح تعادل و حالت پایدار درون سلولی ROS‌ها کمک می‌کنند که این امر منجر به رشد، نمو، چرخه سلولی، سیگنالینگ هورمون‌ها و پاسخ‌های مناسب به انواع عوامل تنفس‌زای Zیستی و غیر زیستی می‌شوند (Foyer and Noctor, 2005; Van Breusegem and Mittler *et al.*, 2004; Dat, 2006).

پراکسیدازها شامل گروهی از پراکسیدازهای غیر اهدا کننده خاص هستند که در آنها گایاکول شایع‌ترین اهدا کننده به حساب می‌آید و از این‌رو این دسته از پراکسیدازها به نام گایاکول پراکسیدازها شهرت یافته‌اند. PODs احیای H_2O_2 را با استفاده از گایاکول (به عنوان عامل کاهنده) انجام می‌دهند و سایر کارکردهای این گروه از آنزیم‌ها هنوز نامشخص می‌باشد (Mika and Luthje, 2006).

مواد و روش‌ها

برنج بومی و اصلاح شده ایرانی (یک رقم متحمل بومی، یک رقم حساس بومی، یک رقم متحمل اصلاح شده و یک رقم حساس اصلاح شده) بودند که به همراه دو رقم شاهد متحمل و حساس (به ترتیب FL478 و IR29) به روش گریگوریو و همکاران (Gregorio *et al.*, 1997)، در مرحله گیاهچه‌ای مورد ارزیابی قرار گرفتند. مشخصات ارقام مورد مطالعه در جدول ۱ ارایه شده است.

به منظور تحلیل بیان ژن‌های رمزکننده پروتئین‌های کارکردی مرتبط با تحمل به شوری، سنجش آنژیم گایاکول پراکسیداز و میزان H_2O_2 تولید شده در ارقام حساس و متحمل برنج، آزمایشی در محل گلخانه دانشکده علوم کشاورزی دانشگاه گیلان در سال ۱۳۹۳ به صورت فاکتوریل (با دو عامل ژنتیکی و زمان) در قالب طرح کاملاً تصادفی اجرا شد. مواد گیاهی آزمایش تعداد چهار رقم

جدول ۱- نام، منشأ و واکنش به شوری ژنتیپ‌های برنج مورد مطالعه در این تحقیق

Table 1. Name, origin and salinity reaction of the rice genotypes studied in this research

شماره Code	Genotype	ژنتیپ	منشأ Origin	واکنش به شوری Reaction to salinity
G1	FL478	FL478	IR66946-3R-178-1-1	متحمل Tolerant
G2	Hassani	حسنی	بومی ایران Iranian landrace	متحمل Tolerant
G3	Anbarboo	عنبربو	بومی ایران Iranian landrace	حساس Susceptible
G4	Nemat	نعمت	آمل/سنگ طارم Amol3/Sangetarom	متحمل Tolerant
G5	Khazar	خرز	IR36/TNAU4756	حساس Susceptible
G6	IR29	IR29	IR833-6-2//IR1561-149-1//IR24*4/ON	حساس Susceptible

۱۰۰ میلی‌مولار قرار گرفتند. نمونه‌گیری جهت بررسی بیان ژن‌ها در شش مرحله زمانی شامل ۳، ۶، ۱۲، ۲۴، ۴۸ و ۷۲ ساعت پس از اعمال تنفس شوری انجام شد. مقدار آب اکسیژنه با استفاده از روش جانا و چادوری (Jana and Choudhuri, 1981) اندازه‌گیری شد. برای این منظور، ۰/۵ گرم بافت برگی در ۳ میلی لیتر بافر فسفات با $pH = 6/8$ هموژن و عصاره حاصل به مدت ۲۵ دقیقه در سانتریفیوز (Biochrom Libras12) با نیروی ۱۲۰۰۰ دور در دقیقه گذاشته شد. برای اندازه‌گیری میزان آب اکسیژنه، ۳ میلی‌لیتر از عصاره حاصل برداشته و روی آن یک میلی‌لیتر کلرید تیتانیوم ۰/۱ درصد در اسید سولفوریک ۲۰ درصد (۷/۷) اضافه شد. پس از آن، محلول فوق به مدت ۱۵ دقیقه در داخل سانتریفیوز با نیروی ۱۲۰۰۰ دور در دقیقه قرار گرفت و سپس میزان جذب محلول زرد رنگ حاصله به وسیله دستگاه اسپکتروفتومتر (Eppendorf 5804R) در طول موج ۴۱۰ نانومتر ثبت شد ($m.M^{-1}.cm^{-1} = ۰/۲۸$ ضریب خاموشی).

برای ضد عفنونی کردن بذرها و جلوگیری از آلودگی‌های احتمالی، تعداد مورد نیاز بذر ابتدا به طور کامل با آب مقطر شسته شده و پس از آن به مدت ۲۰ دقیقه در محلول ۱۰ درصد هیپوکلریت سدیم قرار گرفتند. در پایان این مدت، بذرهای ضد عفنونی شده سه بار و هر بار به مدت ۵ دقیقه با آب مقطر شستشو و به پتری منتقل شدند. پس از ضد عفنونی، بذرهای هر ژنتیپ به پتری‌های حاوی کاغذ صافی استریل منتقل و برای جوانه‌دار شدن در اتفاق کشت آزمایشگاه بیوتکنولوژی دانشکده علوم کشاورزی با دمای ثابت ۲۸ درجه سلسیوس قرار گرفتند. کشت در روز ششم داخل گلخانه با دمای ثابت ۲۵ درجه سلسیوس و دوره نوری ۱۴ ساعت روشناختی و ۱۰ ساعت تاریکی انجام گرفت و بذرهای جوانه‌دار در شرایط هیدرروپونیک در محلول غذایی یوشیدا کشت شدند. در طول دوره، دمای محیط بین ۳۰ تا ۲۴ درجه سلسیوس ثابت ماند. بیست روز پس از کشت و در مرحله سه برگی، گیاهچه‌ها با استفاده از نمک $NaCl$ تحت تنفس شوری

محلول شاهد به جای عصاره آنزیمی، ۱۰ میکرولیتر از بافر فسفات ۵۰ میلی مولار (pH= ۷) استفاده شد. هم‌زمان، RNA کل با استفاده از کیت استخراج شرکت سیناژن (RNX- Plus Solution)، از ریشه‌های cDNA گیاهچه‌های مربوطه استخراج شد. قبل از ساخت RNA با DNase (Fermentas) انجام گرفت. ابتدا تیمار RNA با Perl Primer (BioRad- C1000) Real-Time استفاده از دستگاه میزان ژن‌های مربوطه نظر سنجیده شد. در این آزمایش، از محلول مادری Maxima (Real Time PCR Master Mix SYBR Green/ROX qPCR) و ژن Ubiquitine به عنوان ژن مبنا استفاده شد (جدول ۲).

نسبت میزان رونویسی RNA هدف به میزان رونویسی یک RNA مرجع داخلی، به عنوان میزان ژن از رابطه ۱ ارزیابی شد. ارزش نرمال شده این نسبت نیز با استفاده از روش $\Delta\Delta CT$ برای نمونه‌ها محاسبه شد (روابط ۲ و ۳):

$$(1) \quad 2^{\Delta\Delta CT} = \frac{\text{میزان تغییر نسبی بیان ژن}}{\Delta CT_{treated} - \Delta CT_{untreated}}$$

$$(2)$$

$$(3) \quad \Delta CT = Ct_{target gene} - Ct_{reference gene}$$

برای رسم نمودارهای مربوط به بیان ژن‌های مورد نظر از نرمافزار EXCEL و برای مقایسه میانگین‌ها از نرمافزار SAS استفاده شد.

برای اندازه‌گیری فعالیت آنزیم گایاکول پراکسیداز (POD) از بافر فسفات ۵۰ میلی مولار با pH = ۷ استفاده شد. برگ‌های برنج به کمک نیتروژن مایع در هاون چینی پودر شدند. مقدار ۰.۵ گرم از پودر آسیاب شده به میکروتیوب‌های ۲ میلی‌لیتری منتقل شد و با افزودن یک میلی‌لیتر از بافر استخراج، نخست ورتكس شده و سپس به مدت ۱۵ دقیقه با دور ۱۴۰۰۰ دور در دقیقه در دمای ۴ درجه سلسیوس سانتریفیوژ شدند. با انتقال عصاره رویی به میکروتیوب‌های ۱/۵ میلی‌لیتری به مدت ۱۰ دقیقه با دور ۱۴۰۰۰ دور در دقیقه در دمای ۴ درجه سلسیوس سانتریفیوژ و عصاره رویی به میکروتیوب‌های با همان حجم منتقل شد و در نهایت در فریزر -۸۰- درجه سلسیوس نگهداری شد (Beauchamp and Fridovich, 1971). برای سنجش فعالیت آنزیم پراکسیداز وابسته به گایاکول از روش چانس و ماہلی (Chance and Maehly, 1955) استفاده شد. در این روش از بافر H₂O₂ با غلظت ثابت ۲۲۵ میلی مولار) و بافر گایاکول در غلظت‌های مختلف ۱۵، ۳۰، ۴۵، ۶۰ و ۷۵ میلی مولار استفاده شد. برای اندازه‌گیری فعالیت آنزیم پراکسیداز، بافر H₂O₂ به مقدار ۴۹۵ میکرولیتر و بافر گایاکول به همان مقدار در دمای پایین (ظرف حاوی یخ) در کوت یک میلی‌لیتری مخلوط و پس از اضافه کردن ۱۰ میکرولیتر عصاره آنزیمی به این مخلوط، مقدار جذب نور در طول موج ۴۷۰ نانومتر طی دو دقیقه با استفاده از دستگاه اسپکتروفوتومتر قرائت شد. در

جدول ۲- توالی و شماره دسترسی آغازگرهای مورد استفاده در NCBI
Table 2. Primers sequence and accession number in NCBI

ژن Gene	توالی آغازگر Primer sequence	دمای ذوب TM (°C)	طول قطعه تکثیری Amplified segment length	شماره دسترسی در NCBI NCBI accession number
Ubq-F	5'-ACCACTTCGACCGCCACTACT-3'	54	157	XM_006644067.1
Ubq-R	5'-ACGCCTAACGCCGCTGGTT-3'			
OsPrx-2F-F	5'-GAAAGTGGTCATCTTCGGCC-3'	55.5	134	XM_006643970.1
OsPrx-2F-R	5'-CCATTCAAGGGCATAAGGGTC-3'			
OsGPX1-F	5'- AGCAACCTGCACTTATGCACT-3'	52.4	189	AY100689.1
OsGPX-R	5'CAGCAAGGAAATTATTGACATGA-3'			

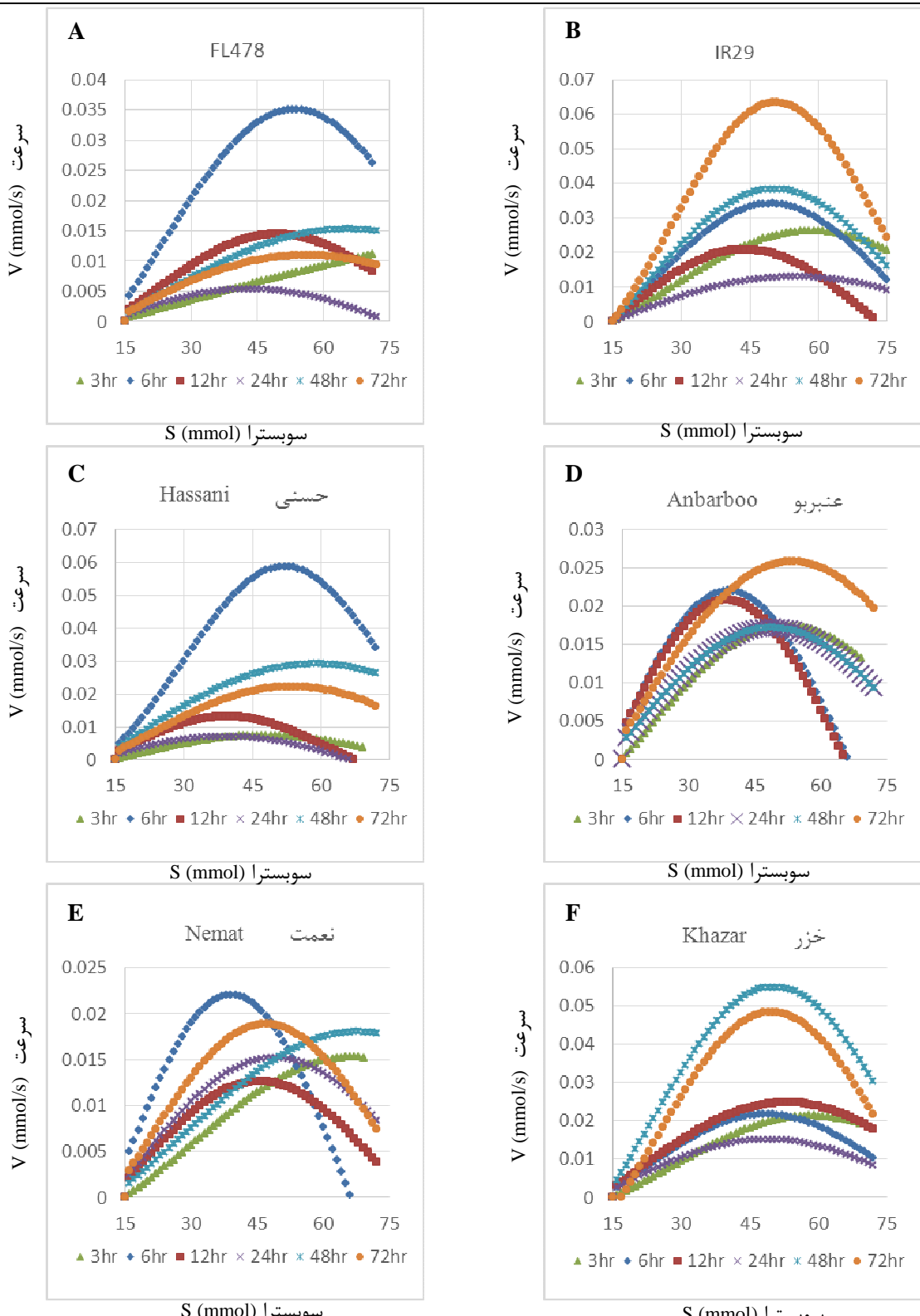
متحمل شاهد FL478 بیشترین فعالیت این آنزیم در ۶ ساعت و کمترین مقدار فعالیت آن در ۴۸ و ۷۲ ساعت پس از اعمال تنفس شوری مشاهده شد (شکل ۱A)، در حالی که در ژنوتیپ حساس شاهد IR29 این آنزیم در

نتایج
مطالعه فعالیت آنزیم پراکسیداز نشان داد که میزان فعالیت این آنزیم در ارقام مورد مطالعه، متغیر و در زمان‌های مختلف متفاوت بود، بهنحوی که در ژنوتیپ

ساعت به حداکثر مقدار خود رسیده است اما از ۱۲ ساعت به بعد روند صعودی و نزولی متنابوی را از خود به نمایش گذاشته است. بدین نحو که در ۱۲ و ۴۸ ساعت حالت صعودی و سرعت آن به $0/0\cdot15$ نزدیک شده اما در ۲۴ و ۷۲ ساعت از سرعت کاسته شده و به $0/0\cdot1$ رسیده است. اما در نعمت به گونه دیگری بوده است. در این رقم درست است که مثل FL478 بیشترین مقدار فعالیت در ۶ ساعت پس از تنش بوده است، اما با مقایسه ساعات آتی تنش بدین نتیجه می‌رسیم که فعالیت این آنزیم به مرور زمان افزایش یافته است و در ۷۲ ساعت پس از تنش به $0/0\cdot2$ نزدیک شده است. اما این رقم نسبت به حسنی نیز از روند متفاوتی تبعیت می‌نمود. در حسنی نیز (مشابه FL478) تا ۶ ساعت پس از تنش افزایشی بوده و در ۶ ساعت به حداکثر مقدار خود رسیده است اما از ۱۲ ساعت به بعد روند صعودی و نزولی متنابوی را از خود به نمایش گذاشته است، هرچند که میزان فعالیت آنزیم در حسنی در ساعات پایانی تنش به مراتب بیشتر از رقم FL478 می‌باشد. رقم خزر نیز حالت مشابهی داشت. بدین نحو که میزان فعالیت این آنزیم در رقم خزر از ۳ تا ۴۸ ساعت روند افزایشی داشته است و در ۴۸ ساعت به حداکثر مقدار خود رسیده است اما در ۷۲ ساعت پس از تنش از میزان فعالیت این آنزیم کاسته شده است. اما روند فعالیت آنزیم در IR29 متفاوت بود. در IR29 تا ۶ ساعت پس از تنش مقدار فعالیت آنزیم افزایش یافت اما در ۱۲ و ۲۴ ساعت پس از تنش فعالیت آنزیم به نحو چشم‌گیری کاهش یافت. سپس مجدداً در ۴۸ و ۷۲ ساعت پس از تنش فعالیت این آنزیم افزایش یافت و در ۷۲ ساعت پس از تنش به حداکثر IR29 مقدار خود رسید. عنبربو نیز حالت مشابهی با داشت. بدین نحو که تا ۶ ساعت پس از تنش مقدار فعالیت آنزیم افزایش یافت، اما در ۱۲ و ۲۴ ساعت پس از تنش فعالیت آنزیم به نحو چشم‌گیری کاهش یافت. مجدداً در ۴۸ و ۷۲ ساعت پس از تنش فعالیت این آنزیم افزایش یافت و در ۷۲ ساعت پس از تنش به حداکثر مقدار خود رسید (شکل F-1). این روند متفاوت در ارقام مختلف نشان می‌دهد که گیاهان از مکانیسم‌های آنزیمی و غیر آنزیمی متعددی در تحمل یا حساسیت به تنش شوری استفاده می‌کنند و اگرچه فعالیت آنزیم پراکسیداز در ارقام حساس نسبت به متحمل بیشتر بود، اما گیاهان متحمل با بهکارگیری سایر اجزای دفاع آنتیاکسیدانی می‌توانند تحمل به شوری را در خود افزایش دهند.

ساعات اولیه تنش، فعالیت کمی داشت، اما با گذشت زمان فعالیت آن افزایش یافت و بیشترین فعالیت این آنزیم در زمان‌های ۴۸ و ۷۲ ساعت پس از اعمال تنش شوری ثبت شد (شکل ۱-B). نکته جالب توجه اینکه با وجود اینکه فعالیت آنزیم POD در رقم IR29 در ساعات ابتدایی تنش اندک بود اما فعالیت آنزیم در هر دو رقم حساس و متحمل در ۶ ساعت پس از تنش تقریباً یکسان بود و در مجموع رقم IR29 فعالیت بیشتری نسبت به ۸ از FL478 خود نشان داد. به این ترتیب، مقایسه میزان فعالیت آنزیم پراکسیداز در دو ژنوتیپ FL478 و IR29 در شرایط تنش شوری نشان داد که ژنوتیپ FL478 در ساعات اولیه تنش بیشترین فعالیت را داشت و به مرور زمان از فعالیت آن کاسته شد و کمترین فعالیت آن در ساعات انتهایی تنش مشاهده شد، در حالی که وضعیت در ژنوتیپ IR29 کاملاً بر عکس بود، به طوری که فعالیت آنزیم در ساعات اولیه تنش خیلی چشم‌گیر نبود، ولی با گذشت زمان فعالیت آن افزایش یافت و بیشترین فعالیت آن در انتهای تنش در زمان‌های ۴۸ و ۷۲ ساعت پس از اعمال تنش ثبت شد.

فعالیت آنزیم گایاکول پراکسیداز در ارقام متحمل و حساس بومی (حسنی و عنبربو) از روند مشابهی با نوع بین‌المللی تبعیت می‌نمودند. مقایسه میزان فعالیت آنزیم در دو ژنوتیپ حسنی و عنبربو در شرایط تنش شوری نشان داد که ژنوتیپ حسنی با اینکه در ساعات اولیه تنش بیشترین فعالیت را داشت (۶ ساعت پس از تنش)، ولی در ساعات پایانی تنش نیز همچنان فعالیت آن افزایش یافت، به نحوی که در ۴۸ و ۷۲ ساعت پس از تنش نیز افزایش فعالیت این آنزیم مشاهده شد (شکل C-1). جالب توجه اینکه میزان فعالیت آنزیم پراکسیداز در رقم حسنی به مراتب بیشتر از رقم FL478 بود. عنبربو نیز به عنوان یک رقم حساس بومی، روند مشابهی را از رقم حساس بین‌المللی (IR29) در پیش گرفت. آنزیم پراکسیداز در این رقم با وجود اینکه مثل IR29 در ساعات پایانی تنش بیشترین فعالیت را داشت، اما در ساعات ۶ و ۱۲ ساعت نیز فعالیت مناسبی را از خود نشان داد (شکل D-1). از جهتی مقایسه فعالیت این آنزیم با نوع بین‌المللی نشان می‌دهد که هر دو رقم در ۱۲ ساعت پس از تنش، فعالیت یکسانی از خود نشان دادند. فعالیت آنزیم پراکسیداز در رقم متحمل نعمت نسبت به دو رقم متحمل دیگر تا حدودی متمایز بود. برای مثال فعالیت آنزیم در رقم FL478 تا ۶ ساعت پس از تنش افزایشی بوده و در ۶



شکل ۱- سرعت واکنش آنزیم پراکسیداز در غلظت‌های مختلف سوبسترا در زمان‌های مختلف (A) ژنوتیپ FL478 (B) ژنوتیپ IR29 (C) ژنوتیپ حسنی، (D) ژنوتیپ عابریبو، (E) ژنوتیپ نعمت، (F) ژنوتیپ خزر

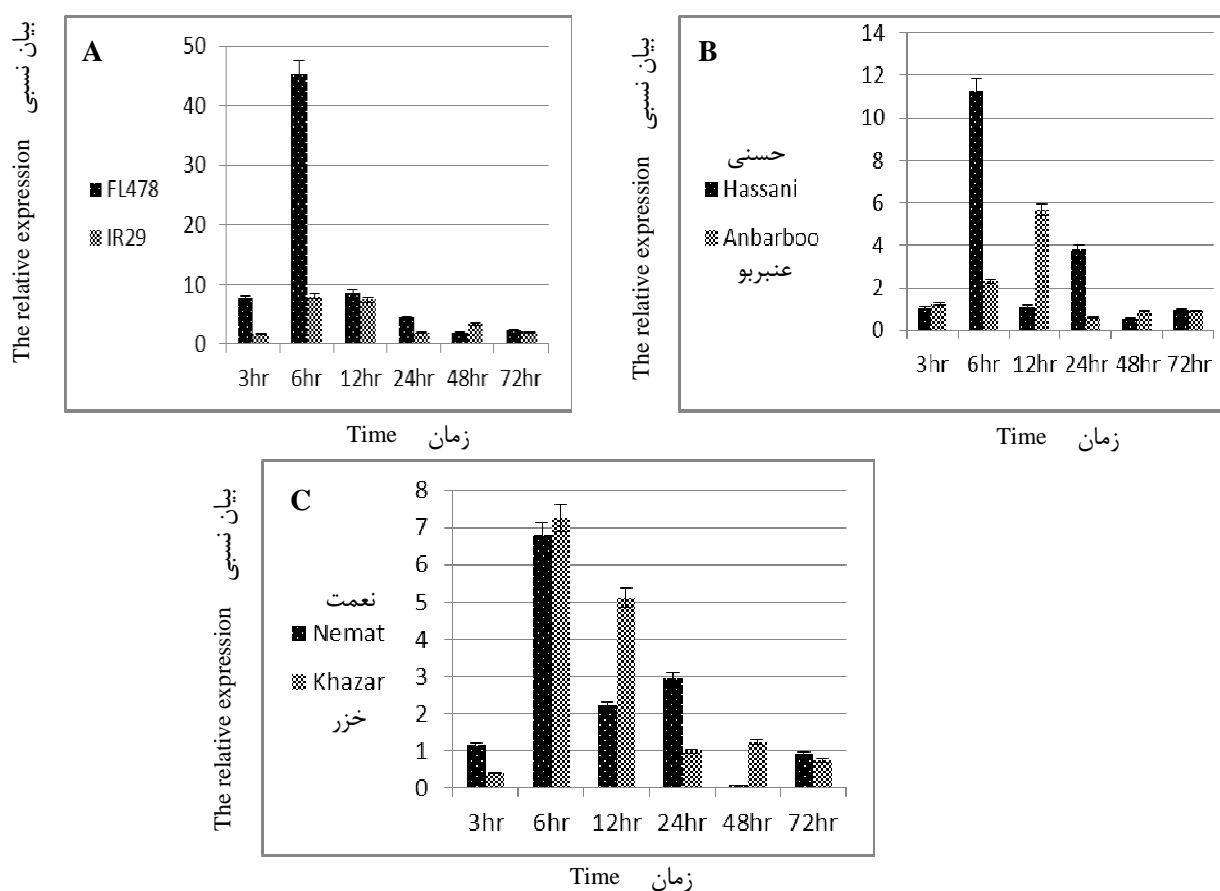
Figure 1. Diagramon of peroxidase reaction rate at different times in different substrate concentrations:
(A) FL478, (B) IR29, (C) Hassani, (D) Anbarboo, (E) Nemat, (F) Khazar

FL478 در ۶ ساعت پس از اعمال تنش شوری مشاهده شد و سپس در زمان‌های ۱۲، ۲۴، ۴۸ و ۷۲ ساعت پس از

مطالعه بیان ژن گلوتاتین پراکسیداز (*OsGPX1*) نشان داد که بیشترین میزان بیان این ژن در ریشه رقم

ارقام بومی و اصلاح شده ایرانی بسیار کمتر از ارقام شاهد بین المللی (به ترتیب ۲۰٪ / ۱۵٪) بود. مطالعه بیان این ژن در ارقام بومی حسنی و عنبربو نشان داد که این ارقام دارای الگوی مشابهی با ارقام شاهد بین المللی بودند، به طوری که بیشترین میزان بیان این ژن در ریشه رقم حسنی در ۶ ساعت پس از اعمال تنفس شوری مشاهده شد و پس از آن میزان بیان این ژن به طور قابل ملاحظه ای کاهش یافت، هر چند که در ۲۴ ساعت پس از تنفس نیز به نحو خفیفی بیان این ژن افزایش یافت. در مقابل، بیان این ژن در ژنوتیپ حساس عنبربو با افزایش زمان تنفس ابتدا به تدریج افزایش و پس از آن کاهش پیدا کرد، به این ترتیب که با گذشت زمان تنفس شوری از ۳ تا ۱۲ ساعت بیان ژن افزایش یافت و در ۱۲ ساعت پس از اعمال تنفس، میزان بیان ژن به بالاترین حد خود رسید و سپس مجدد کاهش یافت (شکل ۲). (B-۲).

تنفس میزان بیان این ژن به طور معنی داری کاهش یافت (شکل ۲-A). بیان ژن *OsGPX1* در ژنوتیپ حساس IR29 نیز با افزایش زمان تنفس ابتدا اندکی افزایش و سپس کاهش پیدا کرد، به این ترتیب که در زمان ۶ و ۱۲ ساعت پس از اعمال تنفس به بالاترین میزان خود رسید (هرچند که میزان بیان این ژن نسبت به رقم FL478 در همین زمان بسیار ناچیز بود) و پس از آن مجدد کاهش یافت و در زمان ۷۲ ساعت پس از تنفس به حداقل مقدار خود رسید. مقایسه میزان بیان این ژن در دو رقم شاهد متتحمل و حساس نشان داد که هر چند این ژن در هر دو رقم حساس و متتحمل در ساعات اولیه تنفس بیان شد، اما میزان بیان این ژن در رقم متتحمل به مراتب بسیار بیشتر از رقم حساس و تفاوت آنها معنی دار بود. مقایسه میزان بیان نسبی ژن پراکسیداز در این دو رقم شاهد نسبت به ارقام ایرانی مورد مطالعه نشان داد که مقدار بیان آن در



شکل ۲- الگوی بیان ژن *OsGPX1* با روش Real time PCR تحت تنفس شوری در گیاهچه‌های برنج. A. بیان ژن در ارقام FL478 و IR29. B. بیان ژن در ارقام حسنی و عنبربو، C. بیان ژن در ارقام نعمت و خزر

Figure 2. The pattern of *OsGPX1* expression using Real-time PCR under salt stress in rice seedlings. Gene expression in A. FL478 and IR29, B. Hassani and Anbarboo, C. Nemat and Khazar

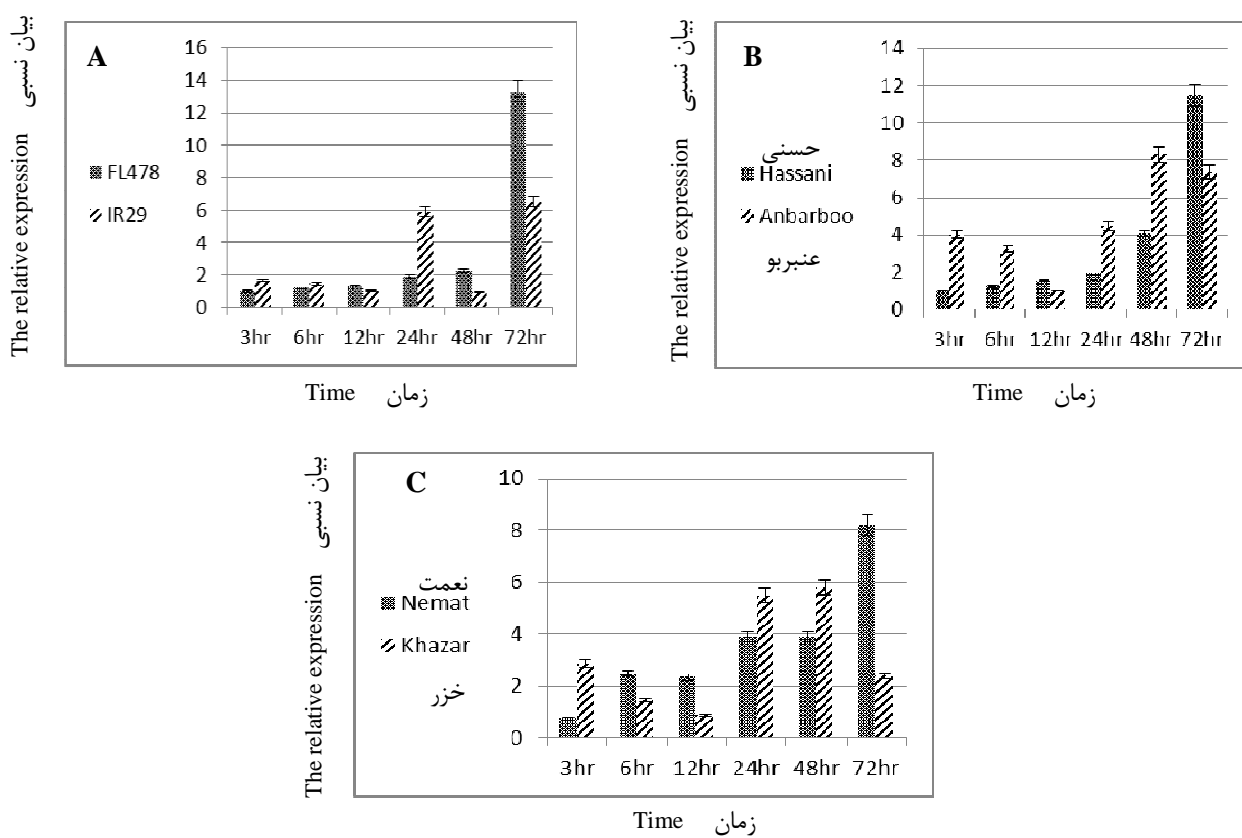
داد که بیان این ژن در رقم نعمت در کل دوره اعمال تنش از روند کاملاً افزایشی برخودار بود، به طوری که در ۲۴ و ۴۸ ساعت پس از تنش، میزان بیان افزایش دو برابری نسبت به ساعات اولیه تنش از خود نشان داد و در انتهای در ۷۲ ساعت پس از تنش به حداقل مقدار خود رسید (شکل C-۳). بیان این ژن در ژنتوتیپ حساس خزر نیز با افزایش زمان تنش به تدریج افزایش یافت، به این ترتیب که از ۳ تا ۱۲ ساعت پس از اعمال تنش دچار تغییرات نوسانی بود، اما در ۲۴ و ۴۸ ساعت به حداقل میزان خود رسید و مجدداً پس از گذشت ۷۲ ساعت بیان ژن کاهش چشمگیری داشت. نکته جالب توجه اینکه بیان نسبی این ژن در ارقام حساس بومی و اصلاح شده در زمان ۲۴ و ۴۸ ساعت پس از تنش به نحو چشمگیری بیشتر از ارقام متحمل بود، اما این تفاوت در زمان ۷۲ ساعت پس از تنش بر عکس و بیان ژن در ارقام متحمل بسیار بیشتر از ارقام حساس بود (شکل C-۳).

تغییرات مقدار H_2O_2 در ارقام مورد مطالعه در شکل ۴ ارایه شده است. همان‌طور که به خوبی در این شکل نیز نشان داده شده است، مقدار H_2O_2 در ارقام مختلف و در زمان‌های مختلف اعمال تنش شوری تقریباً متفاوت بود. به عنوان مثال در رقم FL478 میزان H_2O_2 تا ۶ ساعت پس از اعمال تنش افزایش نشان داد و پس از آن به مرور زمان، مقدار H_2O_2 کاهش قابل ملاحظه‌ای داشت، در حالی که در دو رقم مقاوم بومی و اصلاح شده ایرانی وضعیت کمی متفاوت بود. به عنوان مثال در رقم حسنی میزان H_2O_2 تا ۱۲ ساعت پس از تنش افزایش داشت و پس از آن به مرور زمان کاهش قابل ملاحظه‌ای یافت. در رقم مقاوم نعمت نیز چنین وضعیتی حاکم بود. در این رقم میزان H_2O_2 تا ۱۲ ساعت پس از تنش افزایش داشت، اما این میزان در ۲۴ ساعت پس از تنش تغییری نداشت و پس از کاهش قابل ملاحظه‌ای را نشان داد. در مقابل، رفتار ارقام حساس از نظر H_2O_2 متغیر بود. بدین شکل که در رقم IR29 میزان H_2O_2 تا ۴۸ ساعت پس از تنش افزایش و در ۷۲ ساعت پس از تنش به شکل خفیفی کاهش داشت. در رقم عنبربو نیز میزان H_2O_2 تا ۲۴ ساعت پس از تنش افزایش داشت و از ۴۸ ساعت مقدار آن کاهش یافت. در بین ارقام حساس رقم خزر از هیچ روند خاصی تبعیت نکرد. در این رقم از ساعات ابتدایی تا ساعات انتهایی تنش مقدار H_2O_2 افزایش یافت و هیچ کاهشی در مقدار آن مشاهده نشد.

بررسی بیان ژن گلوتاتین پراکسیداز (*OsGPX1*) در ارقام اصلاح شده نعمت و خزر نیز نشان داد که بیشترین میزان بیان این ژن در ریشه هر دو رقم نعمت و خزر در ۶ ساعت پس از اعمال تنش شوری مشاهده شد و پس از آن با گذشت زمان میزان بیان به طور قابل ملاحظه‌ای در هر دو رقم کاهش یافت. نکته مهم در مورد میزان بیان این ژن در این دو رقم اصلاح شده متحمل و حساس این بود که بر خلاف ارقام شاهد و بومی متحمل و حساس، میزان بیان ژن در رقم حساس خزر در زمان‌های ۶، ۱۲ و ۴۸ ساعت پس از اعمال تنش شوری بیشتر از رقم متحمل نعمت بود، به طوری که اختلاف بیان ژن در این دو رقم در زمان‌های ۱۲ و ۴۸ ساعت معنی‌دار بود، اما در ۶ ساعت پس از تنش تفاوت آنها معنی‌دار نبود (شکل C-۲).

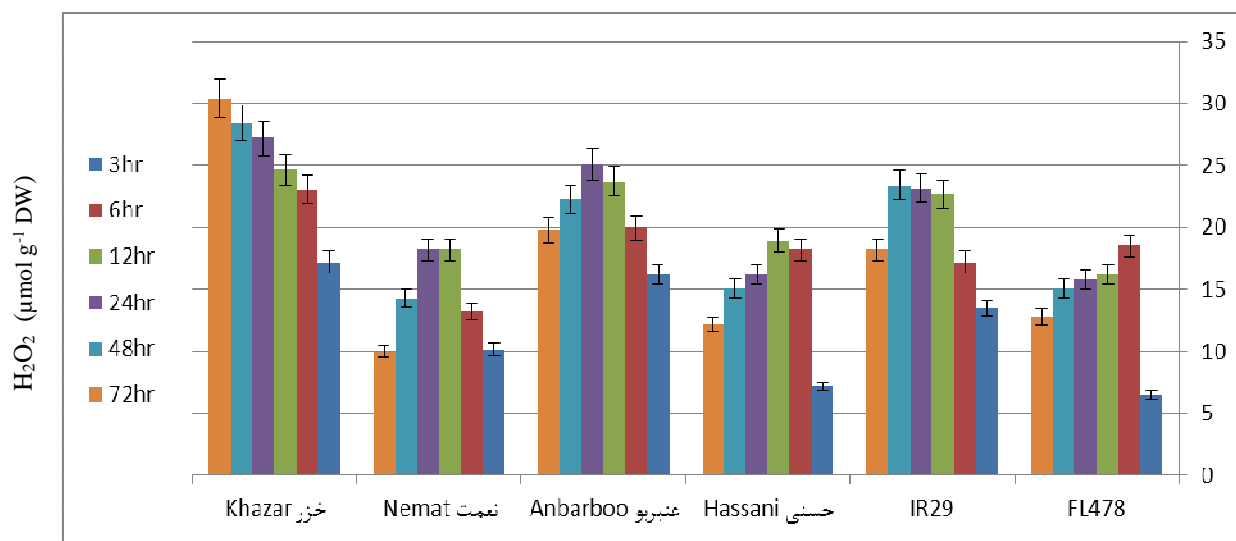
مطالعه ژن پراؤکسی روکسین (*OsPrx-2F*) نشان داد که میزان بیان این ژن در ریشه رقم FL478 در ساعات اولیه پس از اعمال تنش تغییری نکرد، اما در ساعات پایانی تنش (۷۲ ساعت) به نحو چشمگیری افزایش یافت (شکل A-۳). در ژنتوتیپ حساس IR29 نیز میزان بیان این ژن در دو مقطع زمانی ۲۴ و ۷۲ ساعت پس از اعمال تنش افزایش داشت و در سایر زمان‌ها تغییری نکرد، اما میزان بیان نسبت به رقم متحمل FL478 به مراتب کمتر بود. بر اساس مشاهدات، هر چند این ژن در هر دو رقم حساس و مقاوم در ساعات انتهایی تنش بیان شد، اما میزان بیان در رقم مقاوم به مراتب بسیار بیشتر از رقم حساس بود. از طرف دیگر، بیان نسبی این ژن در این دو رقم شاهد به مراتب بیشتر از ارقام بومی و اصلاح شده مورد مطالعه بود (شکل A-۳). ارقام حسنی و عنبربو نیز الگوی مشابهی با ارقام شاهد بین‌المللی داشتند. بیان این ژن در رقم حسنی از روندی افزایشی تبعیت کرد. به نحوی که به مرور زمان به تدریج بیان این ژن افزایش یافت و در ۷۲ ساعت پس از اعمال تنش به حداقل مقدار خود رسید (شکل B-۳). در رقم حساس عنبربو نیز با افزایش زمان تنش به تدریج افزایش پیدا کرد و در ۴۸ ساعت پس از اعمال تنش، میزان بیان ژن به بالاترین حد خود رسید، اما مجدداً در انتهای این مقدار کاهش یافت (شکل B-۳).

بررسی بیان ژن پراؤکسی روکسین در ارقام نعمت و خزر نیز نشان داد که اگرچه بیان این ژن طی دوره اعمال تنش شوری در این دو رقم اصلاح شده ایرانی افزایش یافت، اما الگوی بیان ژن در آنها اندکی متفاوت از سایر ارقام مورد مطالعه بود. بررسی نتایج تحقیق حاضر نشان



شکل ۳- الگوی بیان زن *OsPrx-2F* با روش Real time PCR تحت تنش شوری در گیاهچه‌های برنج. (A) ارقام FL478 و IR29 (B) ارقام حسنی و عنبربو، (C) ارقام نعمت و خزر.

Figure 3. The pattern of *OsPrx-2F* expression using Real-time PCR under salt stress in rice seedlings. A: FL478 and IR29, B: Hassani and Anbarboo, C: Nemat and Khazar.



شکل ۴- الگوی رفتار H_2O_2 تحت تنش شوری در گیاهچه‌های برنج
Figure 4. H_2O_2 behavior under salt stress in the rice seedlings

بحث

مقابل تنش اکسیداتیو می‌توان استنباط کرد که افزایش فعالیت این آنزیم باعث کاهش آثار تنش اکسیداتیو و Sairam, 2002 (et al.). محققین دیگر نیز گزارش کردند که تحمل به شوری می‌تواند در نتیجه افزایش فعالیت سیستم دفاع آنزیمی آنتی اکسیدانی بهبود یابد (Hernandez et al., 2003; Stepien and Klobus, 2005).

بیان نسبی دو ژن Prx و GPX نیز در این تحقیق افزایش یافت. GPXs و Prxs آنزیم‌های جایگزین برای حذف H_2O_2 هستند. عملکرد اصلی GPXs احیای فسفولیپید هیدروکسی پراکسید به شکل الكل مربوطه با استفاده از تیوردوکسین‌ها (TRX) به عنوان اهدا کننده الکترون می‌باشد (Navrot et al., 2006). این آنزیم‌ها می‌توانند H_2O_2 را در چرخه آسکوربیات- گلوتاتیون نیز مهار کنند (Foyer et al., 1997). در این مطالعه، میزان پروکسی ردوکسین در ارقام متتحمل به مرتب بیشتر از ارقام حساس بود. در مطالعات قبلی نیز برای Prxs نقش‌های مختلفی در سلول‌هایی که در معرض تنش‌های زیستی و غیر زیستی قرار گرفته‌اند تعیین شده است. به طور خاص، عملکرد آنها، دفاع آنتی اکسیدانی، سمزدایی و RNS و ROS، القای علامت در حین تنش اکسیداتیو و Rouhier (and Jacquot, 2005; Tripathi et al., 2009) دفاع در برابر عوامل بیماری‌زای گیاهی است (Tripathi et al., 2011; Bhatt and Tripathi, 2011; Fomenko et al., 2011). در مجموع گیاهان متتحمل به شوری میزان Prx بیان ژن بیشتری از خود نشان دادند. این مساله را می‌توان به نقش این ژن در کاهش پروتئین ATP سنتاز، کاهش اکسیداسیون اسکوربیت و کاهش تخریب پروتئین‌های میتوکندریایی و کلروپلاستی در حین تنش Baier and Diekz, 1999; Baier et al., 2000). این نتایج نشان می‌دهد که سیستم دفاعی گیاه نیاز به سطح بالایی از Prx جهت محافظت از سلول‌ها در مقابل تنش اکسیداتیو دارد و یکی از عوامل حساسیت به تنش، کاهش میزان Prx در سلول‌های گیاهی است. بر اساس مطالعات اخیر، اعضای خانواده Prx، پروتئین چند

ROS در این تحقیق میزان فعالیت عوامل سمزدای تحت تنش شوری مورد مطالعه قرار گرفت. فعالیت آنزیم گایاکول پراکسیداز تحت تنش شوری در تمامی ارقام به شدت افزایش یافت. در مطالعات قبلی مشخص شده است که پراکسیداز در متabolیسم گونه‌های فعال اکسیژن، بیوسنتز دیواره سلولی گیاهان با تسريع آخرين مرحله از سنتز لیگنین و سوبرین، نقش ایفا می‌کنند (Quiroga et al., 2000). شوری با تولید گونه‌های فعال اکسیژن موجب القاء فعالیت پراکسیداز می‌شود. مانند این مطالعه، بسیاری از محققین فعالیت این آنزیم را به عنوان یک عامل کلیدی جهت حفاظت گیاهان در مقابل تنش‌های محیطی عنوان نموده‌اند. اشرف و علی (Ashraf and Ali, 2005) مشاهده کردند که تنش شوری سبب افزایش فعالیت آنزیم پراکسیداز در برگ کلزا و کاهش آثار مخرب Meloni et al., 2008) با مطالعه پنبه در شرایط تنش شوری مشاهده کردند که افزایش فعالیت این آنزیم تحت تأثیر تنش شوری منجر به کاهش میزان H_2O_2 و کاهش تخریب غشاها سلولی و آسیب دیدگی گیاه پنبه شد. در آزمایش حاضر ارقام متتحمل به شوری در مقایسه با ارقام حساس، در بالاترین سطح تنش شوری بیشترین فعالیت آنزیم پراکسیداز و کمترین میزان H_2O_2 را داشتند. ساریام و همکاران (Sariam et al., 2004) گزارش کردند که تجمع یون سدیم تحت تأثیر تنش شوری در ارقام گندم منجر به افزایش تخریب غشاها سلولی شد، در حالی که تحقیقات نشان داده است که آنزیم پراکسیداز نقش بهسزایی در کاهش فعالیت رادیکال‌های آزاد اکسیژن ناشی از تنش شوری و تجمع یون سدیم در برگ و ریشه گیاهان زراعی دارد. در این تحقیق نیز آنزیم POD در رقم متتحمل سریع‌تر از رقم حساس افزایش فعالیت داشت. به طور حتم افزایش فعالیت این آنزیم پاسخی از جانب گیاه به افزایش ROS است. البته باید توجه داشت که مکانیسم‌های آنزیمی و غیر آنزیمی متعددی در مقاومت یا حساسیت گیاهان به تنش شوری دخالت دارند. فعالیت آنزیم POD به عنوان یکی از آنزیم‌های اصلی در سم زدایی ROSS (به طور خاص H_2O_2) تحت تنش‌های محیطی به ویژه شوری Vaidyanathan, et al., 2003; Kumar, et al., 2009). با توجه به نقش این آنزیم در

پژوهش افزایش غلظت H_2O_2 در موتانت‌های مورد مطالعه با افزایش غلظت آنزیم گلوتاتیون پراکسیداز همراه بود. در یک آزمایش تکمیلی، اسپری ترکیبات ممانعت کننده فعالیت آنزیم کاتالاز روی برگ گیاهان جو، سویا و تنباکو، با افزایش میزان H_2O_2 منجر به بالا رفتن میزان غلظت و فعالیت آنزیم گلوتاتیون پراکسیداز شد (Smith, 1985). در مطالعه حاضر نیز روند مشابهی ملاحظه شد، بدین ترتیب که در هر دو رقم حساس و مقاوم با افزایش میزان H_2O_2 ، میزان آنزیم گلوتاتیون پراکسیداز به نحو چشم‌گیری افزایش یافت و پس از کاهش مقدار H_2O_2 مقادیر آنزیم نیز کاهش یافت. این حالت نقش این آنزیم در سمزدایی گونه‌های اکسیژن فعلی را به خوبی نشان می‌دهد. پراکسی ردوکسین نیز حالت مشابهی با ژن قبیل داشت و افزایش در میزان H_2O_2 میزان این ژن را افزایش داد. این ژن نیز در مطالعات قبلی به عنوان یک عامل سمزدای قوی گونه‌های فعلی اکسیژن معروفی شده است.

نتیجه‌گیری کلی

نتایج این مطالعه نشان داد که ارقام متحمل به شوری بومی و اصلاح شده برنج ایرانی همانند رقم متحمل FL478 از نظر میزان فعالیت آنزیم پراکسیداز از الگوی تقریباً مشابهی پیروی کردند. تحت شرایط تنش شوری فعالیت این آنزیم در ارقام حساس نسبت به ارقام مقاوم بیشتر بود. بررسی میزان بیان ژن‌های گلوتاتیون پراکسیداز (*OsGpx*) و پراکسی ردوکسین (*OsPrx*) در ارقام متحمل و حساس نیز نشان داد که بیان ژن گلوتاتیون پراکسیداز در ارقام متحمل و حساس در ساعات اولیه تنش اتفاق افتاد، در حال که بیان ژن پراکسی ردوکسین در ساعات انتهایی تنش صورت گرفت، هر چند که میزان بیان این ژن در ارقام متحمل به مراتب بیشتر از ارقام حساس بود.علاوه بر آن، نتایج نشان داد که کارکرد مجموعه‌ای از آنزیم‌های آنتی اکسیدانت می‌تواند منجر به سمزدایی گونه‌های فعلی اکسیژن شود و بنابراین به دلیل اینکه مکانیسم‌های آنزیمی و غیر آنزیمی متعددی در تحمل یا حساسیت گیاهان به تنش شوری دخالت دارند، جهت درک هر چه بهتر عوامل سمزدای ROS بايستی مطالعه جامعی روی کل سیستم آنتی اکسیدانی گیاه انجام شود.

منظورهای را رمزگذاری می‌کنند که می‌توانند به عنوان تنظیم‌کننده انتقال علامت، چپرون‌های مولکولی و تنظیم کننده پاسخ به آسیب به DNA تحت تنش اکسیداتیو در مخمر و گیاهان عمل کنند (Morgan and Veal, 2007; Fomenko *et al.*, 2011).

نتایج این آزمایش نشان داد که میزان بیان ژن گلوتاتیون پراکسیداز (*OsGpx*) در ریشه ارقام متحمل به نحو چشم‌گیری بیشتر از ارقام حساس بود که وسعت عمل و اهمیت این ژن را نشان می‌دهد. با توجه به انحصاری بودن نقش این ژن در احیاء مستقیم فسفولیپید هیدروژناز و کمپلکس هیدروپروکسی برای حفاظت غشای سلولی در برابر تنش اکسیداتیو (از این‌رو، GPX) این را غشای سلولی را از آسیب اکسیداتیو مصون نگه داشته و از این طریق تمامیت سلول را حفظ می‌کنند)، گستردگی حضور این ژن در اندام‌های مختلف توجیه‌پذیر به نظر می‌رسد. آنها می‌توانند با مهار پراکسید در پاسخ به هر دو تنش زیستی و غیر زیستی نقشی اساسی ایفا می‌کنند (Navrot *et al.*, 2006).

این موضوع در سایر پژوهش‌ها نیز گزارش شده است (Herbette *et al.*, 2002; Jung *et al.*, 2002).

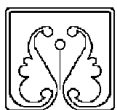
نتایج برخی مطالعات نشان داده است که آنزیم‌های واحد بخش پروتئینی تیول نقش مهمی در واکنش به رادیکال‌های فعلی اکسیژن دارند (Foyer and Noctor, 2005; Larkindale *et al.*, 2005). از مهم‌ترین این آنزیم‌ها گلوتاتیون پراکسیداز است که نقش مهمی در مقابله با تنش اکسیداسیونی و ایجاد تعادل بین رادیکال‌های آزاد اکسیژن دارد. چنین نقشی ممکن است به طور مستقیم با واکنش بدون واسطه یا از طریق ساز و کار آنزیمی با کاهش غلظت پراکسید هیدروژن صورت گیرد (Anne and Bruno, 1997; Pitzschke *et al.*, 1997). شواهد روشنی مبنی بر تأثیر غلظت H_2O_2 بر میزان فعالیت آنزیم گلوتاتیون پراکسیداز وجود دارد. Smith *et al.*, (1984) این موضوع توسط اسمیت و همکاران در برج برق (APX) و GPX تحت تنش شوری، فعالیت POD و SOD می‌تواند است که در برگ برنج در سایر مطالعات نیز مشخص شده است (Lee *et al.*, 1994). در آزمایشی روی موتانت‌های فاقد فعالیت نسبی آنزیم کاتالاز (آنزیم فعلی کاهش دهنده H_2O_2) بررسی شد. در سایر مطالعات نیز مشخص شده است که در برگ برنج تحت تنش شوری، CAT، POD و SOD فعالیت APX و GPX ترجیحاً افزایش و CAT کاهش می‌یابد (Gossett *et al.*, 1994). نیز گزارش کردند که در پنبه، شوری باعث افزایش فعالیت CAT و GR شد. در این

References

- Akhani, H. and Ghorbanli, M. 1993.** A contribution to the halophytic vegetable and flora of Iran. In: Leith, H. and Almasson, A. A. (Eds.). Towards the rational use of high salinity tolerant. Vol. 1. Kluwer Academic Publishers.
- Anne, C. L. and Bruno, T. 1997.** Glutathione-mediated regulation of ATP sulfurylase activity, SO_4^{2-} , uptake and oxidative stress response in intact canola roots. **Plant Physiology** 114: 177-183.
- Ashraf, M. and Ali, Q. 2008.** Relative membrane permeability and activities of some antioxidant enzymes as the key determinants of salt tolerance in canola (*Brassica napus* L.). **Environmental and Experimental Botany** 63: 266-273.
- Beauchamp, C. and Fridovich, I. 1971.** Superoxide dismutase: Improved assays and an assay applicable to acrylamide gels. **Analytical Biochemistry** 44 (1): 276-287.
- Bhatt, I., and Tripathi, B. N. 2011.** Plant peroxiredoxins: catalytic mechanisms, functional significance and future perspectives. **Biotechnology Advances** 29 (6): 850-859.
- Baier, M. and Diekz, K. J. 1999.** Protective function of chloroplast 2-Cys peroxiredoxin in photosynthesis: Evidence from transgenic *Arabidopsis*. **Plant Physiology** 119: 1407-1414.
- Baier, M., Noctor, G., Foyer, C. H. and Dietz, K. J. 2000.** Antisense suppression of 2-cysteine peroxiredoxin in *Arabidopsis* specifically enhances the activities and expression of enzymes associated with ascorbate metabolism but not glutathione metabolism. **Plant Physiology** 124: 823-832.
- Chance, B. and Maehly A. C. 1955.** Assays of catalases and peroxidases. In: Colowick, S. P. and Kaplan, N. O. (Eds.). Methods in enzymology. Academic Press, New York. pp: 764-775.
- Choukr, A. R. 1996.** The potential halophytes in the development and rehabilitation of arid and semiarid zones: Halophytes and biosalin. **Agriculture** 5: 3-13.
- Ciarmiello, L. F., Woodrow, P., Fuggi, A., Pontecorvo, G. and Carillo, P. 2011.** Plant genes for abiotic stress. In: Shanker, A. and Venkateswarlu, B. (Eds.). Abiotic stress in plants: Mechanisms and adaptations. InTech. pp: 284-308.
- Cramer, G. R., Urano, K., Delrot, S., Pezzotti, M. and Shinozaki, K. 2011.** Effects of abiotic stress on plants: A systems biology perspective. **BMC Plant Biology** 11 (163): 1-14.
- Dietz, K. J. 2008.** Redox signal integration: from stimulus to networks and genes. **Plant Physiology** 133: 459-468.
- FAO. 2007.** Food and Agriculture Organization of the United Nations. Statistics: FAOSTAT agriculture. from <http://fao.org/crop/statistics>.
- Fomenko, D. E., Koc, A., Agisheva, N., Jacobsen, M., Kaya, A., Malinouski, M., Rutherford, J. C., Siu, K. C., Jin, D. Y., Winqe, D. R. and Gladyshev, V. N. 2011.** Thiol peroxidases mediate specific genome-wide regulation of gene expression in response to hydrogen peroxide. **Proceedings of the National Academy of Sciences USA** 108: 2729-2734.
- Foyer, C. H. and Noctor, G. 2005.** Oxidant and antioxidant signaling in plants: A re-evaluation of the concept of oxidative stress in a physiological context. **Plant, Cell and Environment** 28: 1056-1071.
- Fry, I. V., Huflejt, M., Erber, W. W. A., Peschek, G. A. and Packer, L. 1986.** The role of respiration during adaptation of the freshwater *Cyanobacterium synechococcus* 6311 to salinity. **Archives of Biochemistry and Biophysics** 244: 686-691.
- Gossett, D. R., Millhollon, E. P. and Lucas, M. C. 1994.** Antioxidant response to NaCl stress in salt tolerant and salt sensitive cultivars of cotton. **Crop Science** 34: 706-714.
- Gregorio, G. B., Senadhira, D. and Mendoza R. 1997.** Screening rice for salinity tolerance. IRRI. Discussion Paper No. 22. Los Banos, Philipines.
- Herbette, S., Lenne, C., Leblanc, N., Julien, J. L., Drevet, J. R. and Roeckel Drevet, P. 2002.** Two GPX-like proteins from *Lycopersicon esculentum* and *Helianthus annuus* are antioxidant enzymes with phospholipid hydroperoxide glutathione peroxidase and thioredoxin peroxidase activities. **European Journal of Biochemistry** 269: 2414-2420.
- Hernandez, J. A., Aguilar, A. B., Portillo, B., Lopez-Gomez, E., Beneyto, J. M. and Garcia-Legaz, M. F. 2003.** The effect of calcium on the antioxidant enzymes from salt-treated loquat and anger plants. **Functional Plant Biology** 30: 1127-1137.
- Hernandez, J. A., Ferrer, M. A., Jimenez, A., Barcelo, A. R. and Sevilla F. 2001.** Antioxidant systems and $\text{O}_2^-/\text{H}_2\text{O}_2$ production in the apoplast of pea leaves. Its relation with salt-induced necrotic lesions in minor veins. **Plant Physiology** 127: 817-831.

- Horling, F., Koning, J. and Dietz, K. J. 2002.** Type II peroxiredoxin C, a member of the peroxiredoxin family of *Arabidopsis thaliana*: Its expression and activity in comparison with other peroxiredoxins. **Plant Physiology and Biochemistry** 40: 491-499.
- Jana, S. and Choudhuri, M. 1981.** Glycolate metabolism of three submerged aquatic angiosperms during aging. **Aquatic Botany** 12: 345-354.
- Jeanjean, R., Matthijs, H. C. P., Onana, B., Havaux, M. and Joset, F. 1993.** Exposure of the cyanobacterium *Synechocystis* PCC6803 to salt stress induces concerted changes in respiration and photosynthesis. **Plant and Cell Physiology** 34: 1073-1079.
- Jung, B. G., Lee, K. O., Lee, S. S., Chi, Y. H., Jang, H. H. and Kang, S. S. 2002.** A Chinese cabbage cDNA with high sequence identity to phospholipid hydroperoxide glutathione peroxidases encodes a novel isoform of thioredoxin-independent peroxidase. **The Journal of Biological Chemistry** 277: 12572-12578.
- Kamali, E., Shahmohammadi Heydari, Z., Heydari, M. and Feyzi, M. 2011.** Effects of irrigation water salinity and leaching fraction on soil chemical characteristic, grain yield, yield components and cation accumulation in safflower in Esfahan. **Iranian Journal of Field Crops Science** 6: 339-545. (In Persian with English Abstract).
- Kumar, V., Shriram, V., Nikam, T. D., Narendra, J., and Mahadeo, G. S. 2009.** Antioxidant enzyme activities and protein profiling under salt stress in indica rice genotypes differing in salt tolerance. **Archives of Agronomy and Soil Science** 55: 379-394.
- Larkindale, J. D., Hall, J. R., Knight, M. and Vierling, E. 2005.** Heat stress phenotypes of *Arabidopsis* mutants implicate multiple signaling pathways in the acquisition of thermo-tolerance. **Plant Physiology** 138: 882-897.
- Lee, D. H., Kim, Y. S. and Lee, C. B. 2001.** The inductive responses of the antioxidant enzymes by salt stress in the rice (*Oryza sativa* L.). **Journal of Plant Physiology** 158: 737-745.
- Lin, C. C. and Kao C. H. 2001.** Cell wall peroxidase activity, hydrogen peroxide level and NaCl-inhibited root growth of rice seedlings. **Plant and Soil** 230: 135-143.
- Marshall, O. J. 2004.** PerlPrimer: Cross-platform, graphical primer design for standard, bisulphite and real-time PCR. **Bioinformatics** 20: 2471-2472.
- Meloni, D. A., Oliva, M. A., Martinez, C. A. and Cambraia, J. 2003.** Photosynthesis and activity of superoxide dismutase, peroxidase and glutathione reductase in cotton under salt stress. **Brazilian Journal of Plant Physiology** 15: 12-21.
- Miao, Y., Lu, D., Wang, P., Wang, X. C., Chen, J., Miao, C. and Song, C. P. 2006.** An *Arabidopsis* glutathione peroxidase functions as both a redox transducer and a scavenger in abscisic acid and drought stress responses. **The Plant Cell** 18: 2749-2766.
- Mika, A. and Luthje, S. 2003.** Properties of guaiacol peroxidase activities isolated from root plasma membrane. **Plant Physiology** 132: 1489-1498.
- Mittler, R., Vanderauwera, S., Gollery, M. and Van Breusegem, F. 2004.** Reactive oxygen gene network of plants. **Trends in Plant Science** 9: 490-498.
- Momeni, A. 2010.** The geographic distribution of soil salinity levels in Iran. **Iranian Journal of Soil Research** 24: 203-215. (In Persian with English Abstract).
- Morgan, B. A. and Veal, E. A. 2007.** Functions of typical 2-Cys peroxiredoxins in yeast. **Subcell Biochemistry** 44: 253-265.
- Moser, D., Nicholls, P., Wastyn, M. and Peschek, G. A. 1991.** Acidic cytochrome c6 of unicellular cyanobacteria is an indispensable and kinetically competent electron donor to cytochrome oxidase in plasma and thylakoid membranes. **International Journal of Biochemistry** 24: 757-768.
- Navabian, M. and Aghajani, M. 2012.** Evaluating the effect of fresh and saline water irrigation management on Hashemi rice yield. **The Journal of Science and Technology of Agriculture and Natural Resources, Water and Soil Science** 16: 45-54. (In Persian with English Abstract).
- Navrot, N., Collin, V., Gualberto, J., Gelhaye, E., Hirasawa, M., Rey, P., Knaff, D. B., Issakidis, E., Jacquot, J. P. and Rouhier, N. 2006.** Plant glutathione peroxidases are functional peroxiredoxins distributed in several subcellular compartments and regulated during biotic and abiotic stresses. **Plant Physiology** 142: 1364-1379.
- Pitzschke, A., Forzani, C. and Hirt, H. 2006.** Reactive oxygen species signaling in plants. **Antioxidants and Redox Signaling** 8: 1757-1764.
- Puri, Y. P. and Williams, W. A. 1985.** Evaluation of yield components as selection criteria in barley breeding. **Crop Science** 22: 927-931.

- Rouhier, N. and Jacquot, J. P.** 2005. The plant multigenic family of thiol peroxidases. **Free Radic Biol Med** 38: 1413–1421.
- Sairam, R. K., Rao, K. V. and Srivastava, G.** 2002. Differential response of wheat genotypes to long term salinity stress in relation to oxidative stress, antioxidant activity and osmolyte concentration. **Plant Science** 163: 1037-1046.
- Sariam, R. K. and Tyagi, A.** 2004. Physiology and molecular biology of salinity stress tolerance in plants. **Current Science** 86 (3): 407-421
- Singh, B. D.** 2001. Plant breeding: Principles and methods. Kalyani Publisher. 898 p.
- Slesak, I., Miszalski, Z., Karpinska, B., Niewiadomska, E., Ratajczak, R. and Karpinski, S.** 2002. Redox control of oxidative stress responses in the C-3-CAM intermediate plant *Mesembryanthemum crystallinum*. **Plant Physiology and Biochemistry** 40: 669-677.
- Smith, I. K., Kendall, A. C., Keys, A. J., Turner, J. C. and Lea, P. J.** 1984. Increased levels of glutathione in a catalase-deficient mutant of barley (*Hordeum vulgare* L.). **Plant Science Letters** 37: 29-33.
- Smith, I. K.** 1985. Stimulation of glutathione synthesis in photo respiration plants by catalase inhibitors. **Plant Physiology** 79: 1044-1047.
- Stepien, P. and Klobus, G.** 2005. Antioxidant defense in the leaves of C3 and C4 plants under salinity stress. **Physiologia Plantarum** 125: 31-40.
- Tripathi, B. N., Bhatt, I. and Dietz, K. J.** 2009. Peroxiredoxins: A less studied component of hydrogen peroxide detoxification in photosynthetic organisms. **Protoplasma** 235: 3-15.
- Vaidyanathan, H., Sivakumar, P., Chakrabarty, R. and Thomas, G.** 2003. Scavenging of reactive oxygen species in NaCl stressed rice (*Oryza sativa* L.): Differential response in salt tolerant and sensitive cultivars. **Plant Science** 165: 1411-1418.
- Van Breusegem, F. and Dat, J. F.** 2006. Reactive oxygen species in plant cell death. **Plant Physiology** 141: 384-390.
- Van Weert, F., Van der Gun, J. and Reckman, J.** 2009. Global overview of saline groundwater occurrence and genesis. International Groundwater Resources Assessment Centre. 105 p.



Biochemical characteristics and expression analysis of some oxidative pathway genes in rice (*Oryza sativa L.*) under salt stress conditions

Mojtaba Kordrostami¹, Babak Rabiei^{2*} and Seyyed Hassan Hassani Kumleh³

Received: September 12, 2015

Accepted: January 9, 2016

Abstract

In this research, the expression of glutathione peroxidase (*OsGpx*) and proxy redoxin (*OsPrx*) genes and content of H₂O₂ and guaiacol dependent peroxidase (POD) in Iranian local (Hassani and Anbarboo) and improved (Nemat and Khazar) rice varieties in response to 100 mM salt stress were assessed and compared to two well-known international salt tolerant (FL478) and sensitive (IR29) varieties as checks. The results showed that the activity of peroxidase (POD) was different in the studied cultivars at different times and it's activity in sensitive cultivars was more than tolerant cultivars under salinity stress conditions. The results also showed that the activity of this enzyme reached its maximum at early hours of stress in the tolerant cultivars and at late hours in the susceptible ones. The highest gene expression of glutathione peroxidase (*OsGpx*) was observed in the roots of tolerant varieties at 6 hours after stress and then at 12, 24, 48 and 72 hours after stress significantly decreased. In contrast, the expression of this gene in susceptible varieties increased at all studied times, however the most expression was observed at 6 and 12 hours after salinity stress. The study of peroxy-redoxin (*OsPrx*) gene expression showed that at the early hours after stress, tolerant varieties did not show any change in the gene expression, but at the final hours of stress (72 hours) gene expression was significantly increased. However, there was no consistent pattern for this gene expression in the susceptible cultivars. The results showed that there was a direct relationship between reduction of H₂O₂ and increased activity of antioxidant enzymes and genes expression. The result of this research indicated that activity of a set of antioxidant enzymes can lead to detoxification of reactive oxygen species. Therefore, for better understanding the ROS detoxifier factors, a comprehensive study should be done on the antioxidant system.

Keywords: Glutathione peroxidase, Guaiacol peroxidase, H₂O₂, Peroxy-redoxin

1. Ph. D. Candidate, Dept. of Agricultural Biotechnology, Faculty of Agricultural Science, University of Guilan, Rasht, Iran

2. Prof., Dept. of Agronomy and Plant Breeding and Agricultural Biotechnology, Faculty of Agricultural Sciences, University of Guilan, Rasht, Iran

3. Assist. Prof., Dept. of Agricultural Biotechnology, Faculty of Agricultural Science, University of Guilan, Rasht, Iran

* Corresponding author: rabiei@gilan.ac.ir